

Corrientes neutras que cambian el sabor leptónico en la extensión mínima S_3 -invariante del Modelo Standard

E. Peinado

Instituto de Física, UNAM

Reunión Anual de la División de Partículas y Campos SMF.

Contenido

- Ingredientes en la Extensión mínima S_3 -invariante del ME
- El Grupo S_3
- Lagrangiana de Yukawa en la Extensión Mínima S_3 -invariante del ME
- Masas y Mezclas del sector leptónico
- Masas de los neutrinos
- FCNCs
- Conclusiones

Ingredientes en la Extensión

- Se introducen tres dobletes de $SU(2)_W$ de Higgs, y se extiende el concepto de sabor y familia al sector de Higgs, tal como en el caso de los fermiones.
- Se introduce el grupo de simetría del sabor S_3 .
- Se asocia cada uno de los campos de las partículas con sabor (quarks, leptones y Higgs) a cada una de las representaciones irreducibles del grupo.
- Se construye la Lagrangiana de Yukawa más general invariante de S_3 .
- Se agrega el término de masa de los neutrinos derechos y con éste el mecanismo del subibaja.

Representaciones Irreducibles de S_3

El Grupo S_3 tiene dos representaciones irreducibles unidimensionales (simétrica y antisimétrica) y una bi-dimensional (doublete)

- Singletes: $\mathbf{1}_A$ singlete antisimétrico, $\mathbf{1}_s$ singlete simétrico
- bi-dimensional: doblete

Producto directo de irreps S_3

$$\mathbf{1}_s \otimes \mathbf{1}_s = \mathbf{1}_s, \quad \mathbf{1}_s \otimes \mathbf{1}_A = \mathbf{1}_A, \quad \mathbf{1}_A \otimes \mathbf{1}_A = \mathbf{1}_s, \quad \mathbf{1}_s \otimes \mathbf{2} = \mathbf{2}, \quad \mathbf{1}_A \otimes \mathbf{2} = \mathbf{2}$$

$$\mathbf{2} \otimes \mathbf{2} = \mathbf{1}_s \oplus \mathbf{1}_A \oplus \mathbf{2}$$

Producto directo de dos dobletes

$$\mathbf{p}_D = \begin{pmatrix} p_{D1} \\ p_{D2} \end{pmatrix} \quad \text{and} \quad \mathbf{q}_D = \begin{pmatrix} q_{D1} \\ q_{D2} \end{pmatrix}$$

se descompone en dos singletes, r_s y r_A , y un doblete r_D^T

$$r_s = p_{D1}q_{D1} + p_{D2}q_{D2} \quad \text{es invariante}, \quad r_A = p_{D1}q_{D2} - p_{D2}q_{D1} \quad \text{no es invariante}$$

$$r_D^T = \begin{pmatrix} p_{D1}q_{D2} + p_{D2}q_{D1} \\ p_{D1}q_{D1} - p_{D2}q_{D2} \end{pmatrix}$$

Interacciones de Yukawa y Matrices de Masa

La lagrangiana de Yukawa de los leptones

$$\begin{aligned} \mathcal{L}_{Y_E} &= -Y_1^e \bar{L}_I H_S e_{IR} - Y_3^e \bar{L}_3 H_S e_{3R} - Y_2^e [\bar{L}_I \kappa_{IJ} H_1 e_{JR} + \bar{L}_I \eta_{IJ} H_2 e_{JR}] \\ &- Y_4^e \bar{L}_3 H_I e_{IR} - Y_5^e \bar{L}_I H_I e_{3R} + h.c., \end{aligned}$$

$$\begin{aligned} \mathcal{L}_{Y_\nu} &= -Y_1^\nu \bar{L}_I (i\sigma_2) H_S^* \nu_{IR} - Y_3^\nu \bar{L}_3 (i\sigma_2) H_S^* \nu_{3R} \\ &- Y_2^\nu [\bar{L}_I \kappa_{IJ} (i\sigma_2) H_1^* \nu_{JR} + \bar{L}_I \eta_{IJ} (i\sigma_2) H_2^* \nu_{JR}] \\ &- Y_4^\nu \bar{L}_3 (i\sigma_2) H_I^* \nu_{IR} - Y_5^\nu \bar{L}_I (i\sigma_2) H_I^* \nu_{3R} + h.c. \quad I, J = 1, 2 \end{aligned}$$

El término de masa de los neutrinos derechos es

$$\mathcal{L}_M = -M_1 \nu_{IR}^T C \nu_{IR} - M_3 \nu_{3R}^T C \nu_{3R},$$

La matriz de masas de los fermiones de Dirac tiene la forma genérica

$$\mathbf{M} = \begin{pmatrix} \mu_1 + \mu_2 & \mu_2 & \mu_5 \\ \mu_2 & \mu_1 - \mu_2 & \mu_5 \\ \mu_4 & \mu_4 & \mu_3 \end{pmatrix}; \quad M_\nu = M_{\nu D} \tilde{M}^{-1} (M_{\nu D})^T$$

Matrices de Masa II

Se introduce una simetría adicional Z_2 con lo cual se prohíben los acoplamientos de Yukawa $Y_1^e = Y_3^e = Y_1^\nu = Y_5^\nu = 0$.

Las matrices de masas se reparametrizan en función de las masas

$$M_e \approx m_\tau \begin{pmatrix} \frac{1}{\sqrt{2}} \frac{\tilde{m}_\mu}{\sqrt{1+x^2}} & \frac{1}{\sqrt{2}} \frac{\tilde{m}_\mu}{\sqrt{1+x^2}} & \frac{1}{\sqrt{2}} \sqrt{\frac{1+x^2-\tilde{m}_\mu^2}{1+x^2}} \\ \frac{1}{\sqrt{2}} \frac{\tilde{m}_\mu}{\sqrt{1+x^2}} & -\frac{1}{\sqrt{2}} \frac{\tilde{m}_\mu}{\sqrt{1+x^2}} & \frac{1}{\sqrt{2}} \sqrt{\frac{1+x^2-\tilde{m}_\mu^2}{1+x^2}} \\ \frac{\tilde{m}_e(1+x^2)}{\sqrt{1+x^2-\tilde{m}_\mu^2}} e^{i\delta_e} & \frac{\tilde{m}_e(1+x^2)}{\sqrt{1+x^2-\tilde{m}_\mu^2}} e^{i\delta_e} & 0 \end{pmatrix}.$$

$$M_\nu = \begin{pmatrix} m_{\nu_3} & 0 & \sqrt{(m_{\nu_3} - m_{\nu_1})(m_{\nu_2} - m_{\nu_3})} e^{-i\delta_\nu} \\ 0 & m_{\nu_3} & 0 \\ \sqrt{(m_{\nu_3} - m_{\nu_1})(m_{\nu_2} - m_{\nu_3})} e^{-i\delta_\nu} & 0 & (m_{\nu_1} + m_{\nu_2} - m_{\nu_3}) e^{-2i\delta_\nu} \end{pmatrix}.$$

No hay parámetros libres además de las fases δ_e y δ_ν .

Matriz de Mezcla

Con las matrices de masas reparametrizadas en función de las masas se construyen las matrices unitarias que diagonalizan a éstas en función de las masas

$$U_{d(u,e)L}^\dagger \mathbf{M}_{d(u,e)} U_{d(u,e)R} = \text{diag}(m_e, m_\mu, m_\tau)$$

$$U_\nu^T \mathbf{M}_\nu U_\nu = \text{diag}(m_{\nu_1}, m_{\nu_2}, m_{\nu_3}).$$

con las cuales construimos la matriz de mezclas definida como

$$V_{MNS} = U_{eL}^\dagger U_\nu.$$

De la identificación

$$|V_{PMNS}^{th}| = |V_{PMNS}^{PDG}|.$$

se obtienen expresiones **analíticas y exactas** para los ángulos de mezcla de los neutrinos en función de las masas de los leptones cargados y los neutrinos sin parámetros libres.

Ángulos de mezcla y masas de neutrinos

Los ángulos de mezcla θ_{13} y θ_{23} dependen solo de las masas de los leptones cargados en excelente acuerdo con los datos experimentales

$$\sin \theta_{13} \approx \frac{1}{\sqrt{2}} x \frac{(1+4x^2-\tilde{m}_\mu^4)}{\sqrt{1+\tilde{m}_\mu^2+5x^2-\tilde{m}_\mu^4}},$$

$$\sin \theta_{23} \approx \frac{1}{\sqrt{2}} \frac{1-2\tilde{m}_\mu^2+\tilde{m}_\mu^4}{\sqrt{1-4\tilde{m}_\mu^2+x^2+6\tilde{m}_\mu^4}}.$$

lo cual nos dan como resultado

$$(\sin^2 \theta_{13})^{th} = 1.1 \times 10^{-5}, \quad (\sin^2 \theta_{13})^{exp} \leq 0.025,$$

$$(\sin^2 \theta_{23})^{th} = 0.499, \quad (\sin^2 \theta_{23})^{exp} = 0.5_{-0.05}^{+0.06}.$$

mientras que el ángulo solar depende de las masas de los neutrinos

$$\tan^2 \theta_{12} = \frac{(\Delta m_{12}^2 + \Delta m_{13}^2 + |m_{\nu_3}|^2 \cos^2 \phi_\nu)^{1/2} - |m_{\nu_3}| \cos \phi_\nu}{(\Delta m_{13}^2 + |m_{\nu_3}|^2 \cos^2 \phi_\nu)^{1/2} + |m_{\nu_3}| \cos \phi_\nu}$$

lo que nos permite fijar la escala de la masa de los neutrinos

Masas de neutrinos

De los valores numéricos para el ángulo de mezcla solar θ_{12} y las diferencias de los cuadrados de las masas de los neutrinos Δm_{13}^2 y Δm_{12}^2

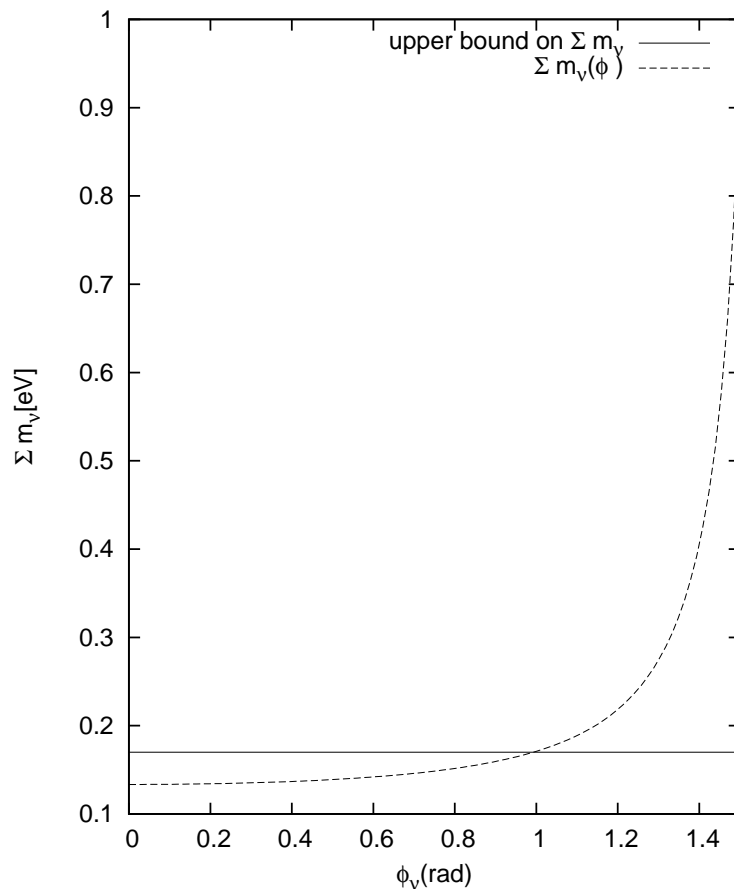
$$\sin^2 \theta_{12} = 0.3 \quad \Delta m_{13}^2 = 2.5 \times 10^{-3} \quad \Delta m_{12}^2 = 7.9 \times 10^{-5}$$

y tomando para $\phi_\nu = 0$, se obtienen los valores para las masas de los neutrinos

$$\begin{aligned} |m_{\nu_2}| &\approx 0.056 eV, \\ |m_{\nu_1}| &\approx 0.055 eV, \\ |m_{\nu_3}| &\approx 0.022 eV, \end{aligned}$$

en buen acuerdo con la cota para la suma de las masas de los neutrinos más restrictiva

$$\sum |m_{\nu_i}| < 1.7 eV$$



FCNC I

En el ME las FCNC están suprimidas por el mecanismo de GIM. Modelos con mas de un doblete de $SU(2)$ de Higgs tienen FCNC a nivel árbol debido a el intercambio de campos escalares. La matriz de masas escrita en términos de los acoplamientos de Yukawa

$$\mathcal{M}_Y^e = Y_w^{E1} v_1 + Y_w^{E2} v_2,$$

Procesos que violan el sabor debido al intercambio de bosones escalares:

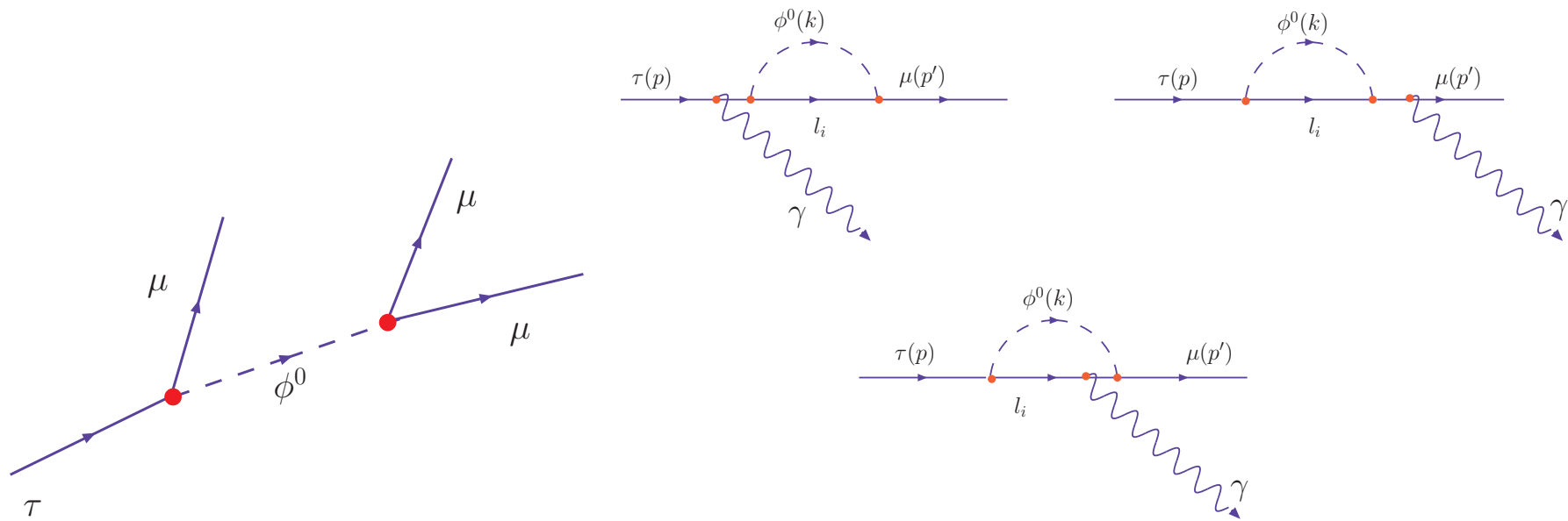


Figure 1: La figura de abajo a la izquierda es el diagrama de Feynman del proceso $\tau^- \rightarrow 3\mu$, mientras que los tres diagramas a la derecha son los tres diagramas de Feynman que contribuyen al proceso $\tau \rightarrow \mu \gamma$.

FCNC II

Las matrices de Yukawa en la base debil son

$$Y_w^{E1} = \frac{m_\tau}{v_1} \begin{pmatrix} 0 & \frac{1}{\sqrt{2}} \frac{\tilde{m}_\mu}{\sqrt{1+x^2}} & \frac{1}{\sqrt{2}} \sqrt{\frac{1+x^2-\tilde{m}_\mu^2}{1+x^2}} \\ \frac{1}{\sqrt{2}} \frac{\tilde{m}_\mu}{\sqrt{1+x^2}} & 0 & 0 \\ \frac{\tilde{m}_e(1+x^2)}{\sqrt{1+x^2-\tilde{m}_\mu^2}} e^{i\delta_e} & 0 & 0 \end{pmatrix} \quad (1)$$

y

$$Y_w^{E2} = \frac{m_\tau}{v_2} \begin{pmatrix} \frac{1}{\sqrt{2}} \frac{\tilde{m}_\mu}{\sqrt{1+x^2}} & 0 & 0 \\ 0 & -\frac{1}{\sqrt{2}} \frac{\tilde{m}_\mu}{\sqrt{1+x^2}} & \frac{1}{\sqrt{2}} \sqrt{\frac{1+x^2-\tilde{m}_\mu^2}{1+x^2}} \\ 0 & \frac{\tilde{m}_e(1+x^2)}{\sqrt{1+x^2-\tilde{m}_\mu^2}} e^{i\delta_e} & 0 \end{pmatrix} . \quad (2)$$

en donde $\tilde{m}_e = m_e/m_\tau$, $\tilde{m}_\mu = m_\mu/m_\tau$ y $x = m_e/m_\mu$

FCNC III

Las matrices de Yukawa en la base de las masas definidas por

$$\tilde{Y}_m^{EI} = U_{eL}^\dagger Y_w^{EI} U_{eR}$$

están dadas por

$$\tilde{Y}_m^{E1} \approx \frac{m_\tau}{v_1} \begin{pmatrix} 2\tilde{m}_e & -\frac{1}{2}\tilde{m}_e & \frac{1}{2}x \\ -\tilde{m}_\mu & \frac{1}{2}\tilde{m}_\mu & -\frac{1}{2} \\ \frac{1}{2}\tilde{m}_\mu x^2 & -\frac{1}{2}\tilde{m}_\mu & \frac{1}{2} \end{pmatrix}_m,$$

y

$$\tilde{Y}_m^{E2} \approx \frac{m_\tau}{v_2} \begin{pmatrix} -\tilde{m}_e & \frac{1}{2}\tilde{m}_e & -\frac{1}{2}x \\ \tilde{m}_\mu & \frac{1}{2}\tilde{m}_\mu & \frac{1}{2} \\ -\frac{1}{2}\tilde{m}_\mu x^2 & \frac{1}{2}\tilde{m}_\mu & \frac{1}{2} \end{pmatrix}_m,$$

Branching ratios

Definimos la tasa de ramificación (BR) parcial (Solo decaimientos leptónicos)

$$Br(\tau \rightarrow \mu e^+ e^-) = \frac{\Gamma(\tau \rightarrow \mu e^+ e^-)}{\Gamma(\tau \rightarrow e \nu \bar{\nu}) + \Gamma(\tau \rightarrow \mu \nu \bar{\nu})}$$

entonces

$$Br(\tau \rightarrow \mu e^+ e^-) \approx \frac{9}{4} \left(\frac{m_e m_\mu}{m_\tau^2} \right)^2 \left(\frac{m_\tau}{M_{H_{1,2}}} \right)^4,$$

Cálculos similares nos dan los siguientes resultados

$$Br(\tau \rightarrow e \gamma) \approx \frac{3\alpha}{8\pi} \left(\frac{m_\mu}{M_H} \right)^4,$$

$$Br(\tau \rightarrow \mu \gamma) \approx \frac{3\alpha}{128\pi} \left(\frac{m_\mu}{m_\tau} \right)^2 \left(\frac{m_\tau}{M_H} \right)^4,$$

$$Br(\tau \rightarrow 3\mu) \approx \frac{9}{64} \left(\frac{m_\mu}{M_H} \right)^4,$$

$$Br(\mu \rightarrow 3e) \approx 18 \left(\frac{m_e m_\mu}{m_\tau^2} \right)^2 \left(\frac{m_\tau}{M_H} \right)^4,$$

$$Br(\mu \rightarrow e \gamma) \approx \frac{27\alpha}{64\pi} \left(\frac{m_e}{m_\mu} \right)^4 \left(\frac{m_\tau}{M_H} \right)^4.$$

Resultados numéricos

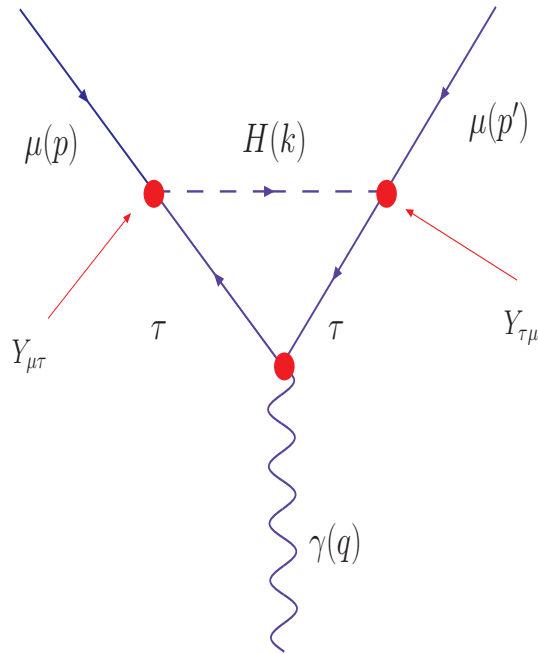
Table 1: Procesos leptónicos via FCNC

Procesos via FCNC	BR Teórico	Cota Experimental Superior de los BR	Referencias
$\tau \rightarrow 3\mu$	8.43×10^{-14}	2×10^{-7}	B. Aubert <i>et. al.</i>
$\tau \rightarrow \mu e^+ e^-$	3.15×10^{-17}	2.7×10^{-7}	B. Aubert <i>et. al.</i>
$\tau \rightarrow \mu\gamma$	9.24×10^{-15}	6.8×10^{-8}	B. Aubert <i>et. al.</i>
$\tau \rightarrow e\gamma$	5.22×10^{-16}	1.1×10^{-11}	B. Aubert <i>et. al.</i>
$\mu \rightarrow 3e$	2.53×10^{-16}	1×10^{-12}	U. Bellgardt <i>et al.</i>
$\mu \rightarrow e\gamma$	1×10^{-19}	1.2×10^{-11}	M. L. Brooks <i>et al.</i>

procesos FCNC pequeños que sirven de intermediarios a las interacciones no-standard de los quarks y los neutrinos podrían tener importancia en la descripción teórica del **colapso gravitacional del núcleo y la generación de choque** en la etapa explosiva de una supernova

Momento magnético anómalo del Muón

Modelos con mas de un doblete de $SU(2)$ de Higgs también contribuyen al momento magnético anómalo del muón debido al intercambio de escalares



La contribución al momento magnético anómalo del muón está dado por

$$\delta a_\mu = \frac{Y_{\mu\tau} Y_{\tau\mu} m_\mu m_\tau}{16\pi^2 M_H^2} \left(\log \left(\frac{M_H^2}{m_\tau^2} \right) - \frac{3}{2} \right)$$

el cual nos da

$$\delta a_\mu = 2.6 \times 10^{-12}$$

valor que está por debajo de

$$\Delta a_\mu = a_\mu^{exp} - a_\mu^{SM} = (287 \pm 91) \times 10^{-11}$$

Conclusiones I

- En la Extensión Mínima S_3 -invariante del ME, se obtienen matrices de masa para los fermiones de Dirac bien definidas y con la introducción de la simetría adicional Z_2 en el sector leptónico, se eliminan algunos de los acoplamientos de Yukawa con lo cual se reduce el número de parámetros
- Nosotros calculamos explícitamente las matrices de masa leptónica en función de las masas y un sólo parámetro libre, la fase de Dirac δ_e
- Calculamos también la matriz de masas de los neutrinos en función sólo de las masas de los neutrinos (complejas) y la fase de Dirac δ_ν .
- Esto nos permitió calcular la matriz de mezclas sólo en función de las masas de los leptones cargados y las masas de los neutrinos, la fase de Dirac $\delta = \delta_\nu - \delta_e$ y una sola fase de Majorana.
- Encontramos que esta forma de la teoría predice que los ángulos θ_{12} y θ_{13} sólo dependen de las masas de los leptones cargados en excelente acuerdo con los datos experimentales

$$(\sin^2 \theta_{13})^{th} = 1.1 \times 10^{-5}, \quad (\sin^2 \theta_{13})^{exp} \leq 0.025,$$

$$(\sin^2 \theta_{23})^{th} = 0.499, \quad (\sin^2 \theta_{23})^{exp} = 0.5_{-0.05}^{+0.06}.$$

Conclusiones II

- Encontramos que el ángulo de mezcla solar depende muy débilmente de las masas de los leptones cargados y depende fuertemente de las masas de los neutrinos, lo cual nos permitió calcular las masas de los neutrinos

$$\begin{aligned} |m_{\nu_2}| &\approx 0.056 eV, \\ |m_{\nu_1}| &\approx 0.055 eV, \\ |m_{\nu_3}| &\approx 0.022 eV, \end{aligned}$$

- Después de verificar que la teoría describe la fenomenología de masas y mezclas de los neutrinos en excelente acuerdo con los datos experimentales, calculamos los procesos leptónicos que violan sabor y encontramos que absolutamente todos éstos están muy suprimidos en muy buen acuerdo con las cotas experimentales terrestres.
- Encontramos que la supresión de los procesos que violan el sabor viene de la jerarquía en las masas de los leptones m_e/m_τ y m_μ/m_τ , y por el cociente tan pequeño $(m_\tau/M_{H_{1,2}})^4$.
- Si bien, los valores encontrados para los procesos que violan sabor son muy pequeños comparado con las cotas experimentales terrestres, por ser no nulos podrían ser importantes en procesos astrofísicos.